

01;03

Влияние релаксации заряда на электромагнитное излучение осциллирующей заряженной вязкой капли

© С.О. Ширяева, А.И. Григорьев, В.А. Коромыслов,
А.С. Голованов

Ярославский государственный университет им. П.Г. Демидова
E-mail: shir@uniyar.ac.ru

Поступило в Редакцию 16 июля 2001 г.

Получено дисперсионное уравнение для капиллярных колебаний заряженной капли вязкой несжимаемой жидкости конечной электропроводности с учетом энергопотерь на излучение электромагнитных волн. Показано, что интенсивность энергопотерь, связанных с электромагнитным излучением колеблющейся капли, растет при увеличении ее электропроводности и поверхностной подвижности носителей заряда по линейному закону.

1. Исследование электромагнитного излучения от колеблющихся заряженных облачных и дождевых капель представляет интерес как в связи с проблемами радиолокационного зондирования облаков и туманов [1–3], так и в связи с разработкой средств диагностики широкого спектра приложений явления электродиспергирования жидкостей [4–6]. Задача расчета интенсивности электромагнитного излучения от колеблющейся заряженной капли была впервые сформулирована в [1] для невязкой идеально проводящей капли в вакууме. В связи с актуальностью проблемы представляет интерес ответ на вопрос: как влияет на интенсивность электромагнитного излучения неидеальность физических свойств колеблющейся капли: наличие вязкости и конечности скорости переноса заряда.

2. Пусть капля радиуса R вязкой, несжимаемой идеально проводящей жидкости с плотностью ρ , коэффициентами диэлектрической проницаемости и электропроводности ϵ_1 и σ , коэффициентом поверхностного натяжения γ , коэффициентом кинематической вязкости ν , имеющая заряд Q , находится в вакууме ($\epsilon_2 = 1$). Исследуем капиллярные колебания такой капли в сферической системе координат с началом в ее центре,

имея в виду возможность их затухания не только из-за влияния вязкости, но и вследствие излучения ею электромагнитных волн, генерируемых движением перераспределяющегося при осцилляциях капли заряда.

Нижеследующие расчеты проведем в безразмерных переменных, в которых $R = 1$, $\rho = 1$, $\gamma = 1$. Система уравнений электрогидродинамики с электрическим полем, создаваемым зарядом Q , во введенных безразмерных переменных имеет вид:

$$\frac{\partial \mathbf{u}}{\partial t} + (\mathbf{u} \cdot \nabla) \mathbf{u} = -\nabla P_1 + \nu \Delta \mathbf{u}; \quad \operatorname{div} \mathbf{u} = 0;$$

$$\operatorname{div} \mathbf{D}_j = 0; \quad \mathbf{D}_j = \varepsilon_j \mathbf{E}_j;$$

$$\Delta \mathbf{E}_j + \frac{1}{c^2} \frac{\partial \mathbf{E}_j}{\partial t^2} = 0; \quad j = 1, 2$$

индекс 1 относится к жидкости, а индекс 2 — к внешней среде; $\varepsilon_1 \equiv \varepsilon$; $\mathbf{u}(\mathbf{r}, t)$ — поле скоростей движения жидкости в капле; $P_1(\mathbf{r}, t)$ — давление внутри жидкости при наличии внешнего электрического поля; c — скорость распространения электромагнитных волн.

На свободной поверхности капли, описываемой уравнением

$$F(\mathbf{r}, t) \equiv r - 1 - \xi(\theta, t) = 0;$$

должны выполняться следующие граничные условия:

кинематическое:

$$\frac{dF}{dt} \equiv \frac{\partial F}{\partial t} + \mathbf{u} \cdot \nabla F = 0;$$

динамическое для касательных компонент тензора напряжений:

$$(\Pi_{2\tau} - \Pi_{1\tau}) - \nu \cdot [\boldsymbol{\tau} \cdot (\mathbf{n} \cdot \nabla) \mathbf{u} + \mathbf{n} \cdot (\boldsymbol{\tau} \cdot \nabla) \mathbf{u}] = 0; \quad \Pi_{\tau} = \frac{\varepsilon}{4\pi} E_n E_{\tau};$$

E_n , E_{τ} — нормальная и касательная компоненты напряженности электрического поля; \mathbf{n} и $\boldsymbol{\tau}$ — орты нормали и касательной к поверхности капли;

динамическое граничное условие для нормальной компоненты тензора напряжений:

$$-(P_1 - P_2) + 2\nu \mathbf{n} \cdot (\mathbf{n} \cdot \nabla) \mathbf{u} - P_E + P_{\gamma} = 0;$$

P_2 — давление внешней среды; P_E и P_{γ} — давления электрических сил и сил поверхностного натяжения.

Граничные условия для электрической индукции $\mathbf{D}_j(\mathbf{r}, t)$ и поверхностной плотности заряда $\varkappa(\theta, t)$ имеют вид:

$$\begin{aligned} r = 1 + \xi: \quad D_{2n} - D_{1n} &= 4\pi\varkappa; \quad E_{2r} = E_{1r}; \\ \frac{\partial \varkappa}{\partial t} - \sigma(\mathbf{n} \cdot \mathbf{E}_1) + \operatorname{div}_{\Sigma}(\varkappa \mathbf{u}_r + \varkappa b \mathbf{E}_r) &= 0; \\ -\frac{1}{4\pi} \oint_S \varkappa ds &= Q, \quad S = [r = 1 + \xi(\theta, t), 0 \leq \theta \leq \pi], \\ r \rightarrow \infty: \quad D_2 &\rightarrow 0; \\ r \rightarrow 0: \quad D_1 &\rightarrow 0; \end{aligned}$$

b — подвижность заряженных частиц; \mathbf{u}_r , \mathbf{E}_r — вектора, лежащие в касательной плоскости; $\operatorname{div}_{\Sigma} \mathbf{a}$ — поверхностная дивергенция.

Кроме того, пусть выполняются: условие постоянства объема капли

$$\int_V dV = \frac{4}{3} \pi$$

и условие неподвижности центра масс капли

$$\int_V \mathbf{r} dV = 0.$$

3. Приведенная система уравнений представляет собой математическую формулировку задачи, решение которой стандартным способом (см., например, [1,7,8]) приводит к дисперсионному уравнению, определяющему спектр реализующихся в капле периодических и аperiodических движений жидкости:

$$\begin{aligned} (S - 2g_n \cdot v) \left[S^2 + n(n-1)(n+2) + \frac{Q^2}{2\pi} n - \frac{Q}{4\pi} B_n \cdot G_n \cdot n^2(n+1) \right] \\ + 2S^2 v(n-1)(2n+1) - S^2 \cdot \frac{Q}{4\pi} \cdot G_n \left[H_n \cdot g_n - \frac{S}{c} (n+1)(2n+1) \right] \\ + S \cdot v \cdot \frac{Q}{4\pi} \cdot G_n \cdot \left[2g_n \cdot n^2 \cdot (n+1) - n(n-1)(n+1)^2 + 4H_n \cdot g_n \cdot n \right. \\ \left. + H_n \cdot n(n^2 - 1)(n-2) \right] - 4Sv^2 g_n \cdot n(n-1)(n+2) \\ + \frac{Q}{4\pi} G_n \cdot g_n \cdot n \left\{ H_n \left[\frac{Q^2}{2\pi} - (n-1)(n+2) \right] - \frac{Q^2}{4\pi} n(n+1) \right\} = 0; \quad (1) \end{aligned}$$

$$H_n \equiv -n - (2n + 1) \frac{S}{c}; \quad g_n(x) \equiv x \frac{i_{n+1}(x)}{i_n(x)}; \quad x \equiv \sqrt{\frac{v}{S}};$$

$$B_n \equiv \frac{2S + n \cdot \lambda_n}{n(n+1)}; \quad G_n \equiv \frac{Q}{S - f_n \cdot \lambda_n};$$

$$\lambda_n \equiv \varepsilon S + 4\pi\sigma + b \cdot Q(n+1); \quad f_n \equiv \frac{H_n}{(n+1)}.$$

В (1) S и n — частота и номер моды капиллярных осцилляций капли; $i_n(x)$ — модифицированная сферическая функция Бесселя.

Численный анализ дисперсионного уравнения (1) показал, что величина декремента затухания χ_n капиллярных осцилляций капли, связанного с излучением ею электромагнитных волн, растет по линейному закону с увеличением электропроводности жидкости σ и поверхностной подвижности носителей заряда b , как это видно из рис. 1, 2, где приведены соответствующие зависимости для моды с $n = 100$, реализующихся на безразмерной частоте $\text{Im}S \approx 1500$ (для капли воды с $R = 1 \text{ mm}$ это соответствует частоте $\approx 200 \text{ kHz}$). Интенсивность

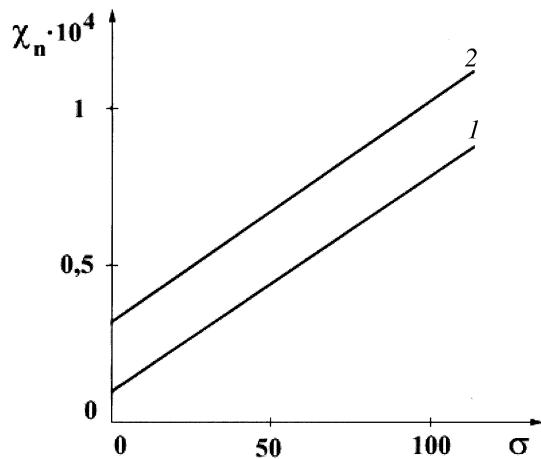


Рис. 1. Зависимость величины безразмерного декремента затухания χ_n капиллярных осцилляций капли от безразмерной электропроводности жидкости σ при $n = 100$, $Q = 1$, $b = 0,5$, $\varepsilon = 80$: 1 — $v = 0$, 2 — $v = 10^{-9}$.

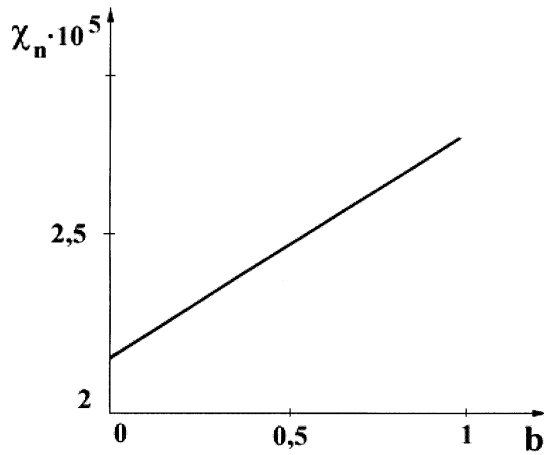


Рис. 2. Зависимость величины безразмерного декремента затухания χ_n капиллярных осцилляций капли от безразмерной поверхностной подвижности носителей заряда b при $n = 100$, $\sigma = 25$, $\varepsilon = 80$, $\nu = 0$.

электромагнитного излучения при этом увеличивается $\sim \chi_n \cdot \exp(2\chi_n t)$. Из рис. 1 видно, что наличие малой вязкости никак не сказывается на зависимости декремента затухания χ_n , связанного с электромагнитным излучением капли, от электропроводности σ , приводя лишь к ее параллельному сдвигу. Численные расчеты по (1) показывают, что и для больших значений вязкости качественный вид зависимости $\chi_n = \chi_n(\sigma, b)$ остается по-прежнему линейным. С увеличением заряда Q (с увеличением поверхностной плотности заряда κ) и номера моды n ее капиллярных осцилляций при конечных значениях электропроводности σ и подвижности b декремент χ_n растет квадратично по Q и по n , что согласуется с данными [1], полученными для невязкой идеально проводящей капли.

Влияние вязкости, не сказываясь на функциональной зависимости декремента затухания χ_n капиллярных осцилляций капли, связанного с излучением ею электромагнитных волн: $\chi_n = \chi_n(\sigma, b)$, проявляется в снижении с увеличением ν частот колебаний вплоть до полного их исчезновения, что приведет и к прекращению электромагнитного излучения капель на соответствующей частоте. Так, численные расчеты

показывают, что осцилляции моды с $n = 100$ прекращаются при $v \approx 0.05$, а основной моды с $n = 2$ — при $v \approx 0.75$. Существенно также, что интенсивность электромагнитного излучения от капли на фиксированной частоте пропорциональна квадрату частоты [1].

В реальных заряженных жидкокапельных системах естественно происхождения основной вклад в интегральное электромагнитное излучение облака в диапазоне частот порядка сотен килогерц вносят осцилляции при $n = 2$ весьма мелких капелек с $R \sim 10 \mu\text{m}$, обладающих максимальной концентрацией в облаке, и высокомодовые осцилляции большой амплитуды с $n \sim 100$ крупных гидрометеоров с $R \sim 100 \div 1000 \mu\text{m}$.

4. Заключение. Интенсивность электромагнитного излучения осциллирующей заряженной капли с конечными электропроводностью σ и поверхностной подвижностью носителей заряда b с ростом σ и b увеличивается по линейному закону. Ее зависимость от величины заряда Q и номера моды n осцилляций такая же, как и у идеально проводящей капли. Влияние вязкости жидкости v на электромагнитное излучение капли реализуется через зависимость от v частоты осцилляций $\text{Im}S = \text{Im}S(v)$.

Работа выполнена при поддержке гранта президента РФ 00–15–9925.

Список литературы

- [1] Калечиц В.И., Нахутин И.Е., Полуэктов П.П. // ДАН СССР. 1982. Т. 262. № 6. С. 1344–1347.
- [2] Качурин Л.Г. Физические основы воздействия на атмосферные процессы. Л.: Гидрометеоздат, 1990. 463 с.
- [3] Beard K.V., Ali Tokay // Geophysical Research Letters. 1991. V. 18. N 12. P. 2257–2260.
- [4] Григорьев А.И., Ширяева С.О. // Изв. РАН МЖГ. 1994. № 3. С. 3–22.
- [5] Григорьев А.И. // ЖТФ. 2000. Т. 70. В. 5. С. 22–27.
- [6] Белоножко Д.Ф., Григорьев А.И. // ЭОМ. 2000. № 4. С. 17–28.
- [7] Григорьев А.И., Ширяева С.О. // Изв. РАН. МЖГ. 1997. № 5. С. 107–118.
- [8] Ширяева С.О. // ЖТФ. 1999. Т. 69. В. 8. С. 28–36.